

(دریافت مقاله: ۱۳۹۰/۶/۲۲؛ دریافت نسخه نهایی: ۱۳۹۱/۱/۳۰)

افروزش، در گرمایش محیط پلاسمای همجوشی بسیار مفید باشد. بررسی این ناپایداری‌ها، به خصوص در پلاسمای فوق چگال از اهمیت بسیاری برخوردار است، به گونه‌ای که در چند دهه اخیر چه به لحاظ آزمایشگاهی و چه از طریق شبیه‌سازی بسیار مورد مطالعه قرار گرفته است [۱]. در پراکندگی رامان، پالس لیزر ورودی به محیط پلاسما توسط اختلالات چگالی الکترون‌های محیط پلاسما پراکنده می‌شود. در این حالت امواج پلاسمای الکترونی توسط نیروی پاندرموتیو^۱ که خود در اثر برهم‌نگی امواج الکترومغناطیسی ورودی به محیط پلاسما و امواج الکترومغناطیسی پراکنده شده در این محیط ایجاد

استفاده از لیزر در ایجاد شرایط مناسب وقوع واکنش‌های همجوشی هسته‌ای و بررسی چگونگی رشد ناپایداری‌های موجود در محیط پلاسمای فوق چگال از اهمیت بسیار زیادی برخوردار است. ناپایداری رامان تحریکی تنها یکی از این نوع ناپایداری‌ها در محیط پلاسما می‌باشد که باید در جریان کترول محیط پلاسما مورد توجه قرار گیرد. این ناپایداری‌ها را نمی‌توان مطلاقاً پدیده‌هایی نامطلوب در بحث پلاسمای همجوشی به حساب آورد. به عنوان مثال یکی از مهمترین ویژگی‌های ناپایداری رامان تحریکی ایجاد الکترون‌های با انرژی‌های بالا می‌باشد که می‌تواند پس از مرحله متراکم شدن سوخت و

۱. pondermotive

مربوط به مسیر حرکتشان (به خصوص اطلاعات در مورد چگالی مسیر حرکت)، می‌توان به عنوان یک وسیله خوب محیط سنجی در بررسی محیط‌های پلاسمایی و البته در بحث کنترل محیط پلاسمایی همجوشی هسته‌ای (در صورت حرکت پایدار در محیط همجوشی) استفاده نمود [۵]. علاوه بر این یکی از ویژگی‌های مهم این موج که در سال‌های اخیر بسیار مورد توجه قرار گرفته است، استفاده از آن به عنوان یک کانال پیش‌گردانش اضافی در محیط پلاسمایی همجوشی هسته‌ای است. این ویژگی نه تنها در افزایش دمای محیط همجوشی، بلکه در دیگر شاخه‌های فیزیک پلاسمایی از اهمیت زیادی برخوردار است.

در این مقاله ابتدا در بخش ۲ و ۳ به بررسی نظریهٔ پراکندگی رامان تحریکی و امواج سوت‌کش الکترومغناطیسی^۱ پرداخته می‌شود. در بخش ۴ گرمایش دو مرحله‌ای را با استفاده از کد Xem1 مورد بررسی قرار می‌دهیم. در بخش ۵ به شبیه‌سازی عبور پالس لیزر از یک محیط پلاسمایی با استفاده از کد XOPIC پرداخته و انتشار امواج تولید شده در پراکندگی رامان تحریکی و برهم‌کنش آن با ذرات محیط پلاسمایی را مورد بررسی قرار می‌دهیم. در بخش ۶ با اعمال یک میدان مغناطیسی خارجی در محیط پلاسمایی، تولید و برهم‌کنش امواج سوت‌کش با الکترون‌های محیط در انتقال انرژی به این ذرات در جهت عمود بر میدان مغناطیسی خارجی را شبیه‌سازی می‌کنیم.

برطبق نظریهٔ پراکندگی رامان که براساس انتباطق فازی در زمان-مکان و پایستگی انرژی و تکانه نوشته شده است برای فرکانس‌ها و اعداد موج خواهیم داشت [۳]:

$$\omega_0 = \omega_S + \omega \quad (1)$$

$$\overline{K}_0 = \overline{K}_S + \overline{K} \quad (2)$$

که در آن ω_0 و \overline{K}_0 به ترتیب فرکانس و عدد موج پالس لیزر ورودی، ω_S و \overline{K}_S فرکانس و عدد موج مربوط به موج الکترومغناطیسی پراکنده شده و ω و \overline{K} مربوط به موج

می‌گردد، به وجود می‌آید [۲]. در این حالت هر چند امواج الکترومغناطیسی پراکنده شده می‌توانند قسمت مهمی از انرژی لیزر تابانده شده به محیط را به خارج از محیط پلاسمایی همجوشی منتقل نمایند ولی امواج پلاسمایی الکترونی ایجاد شده در محیط، در اثر این پراکندگی‌ها، می‌توانند با گیراندازی الکترون‌های محیط پلاسمایی باعث افزایش انرژی این ذرات گردند. به طورکلی انتباطق فازی، در زمان و مکان، در بررسی فرکانس و بردار امواج تشدیدی ایجاد شده در ناپایداری رامان تحریکی از اهمیت بسیار زیادی برخوردار می‌باشد. با توجه به جهت انتشار امواج الکترومغناطیسی پراکنده شده در پراکندگی رامان تحریکی، دو نوع پراکندگی از این نوع در محیط پلاسمایی قابل مشاهده می‌باشد. پراکندگی رامان پس‌رو در زمان‌های اولیه ورود پالس لیزر به محیط پلاسمایی و در مناطق اولیه انتشار این پالس قابل مشاهده است در حالی که پراکندگی رامان پیش‌رو در قسمت‌های انتهایی محیط پلاسمایی قابل مشاهده است، بنابراین در زمان‌های تأخیری بیشتر نسبت به پراکندگی رامان پس‌رو تأثیرگذار می‌باشد [۳].

گرمایش الکترون‌های محیط در پراکندگی رامان می‌تواند در دو مرحله صورت گیرد. در مرحله اول گرمایش اولیه الکترون‌ها توسط امواج پلاسمایی الکترونی با سرعت فاز پایین، تولید شده در پراکندگی رامان پس‌رو، صورت می‌گیرد. در مرحله بعد این الکترون‌ها می‌توانند توسط امواج پلاسمایی الکترونی با سرعت فاز بالا، تولید شده در پراکندگی رامان پیش‌رو، گیراندازی شده و به انرژی‌های بسیار بالاتر دست یابند [۳].

در برهم‌کنش پالس لیزر با محیط پلاسمایی مغناطیسی بررسی امواج سوت‌کش الکترومغناطیسی، از اهمیت بسیار زیادی برخوردار است. از همان اوایل کشف امواج صوتی الکترومغناطیسی، به دلیل مجموعه خواص این امواج، توجه خاصی نسبت به این امواج صورت گرفت. از جمله خواص مهم این امواج، می‌توان به رابطه پاشندگی قوی، قطبش درهم آمیخته، پدیده‌های تشدیدی و برهم‌کنش غیرخطی امواج با امواج و امواج با ذره این امواج اشاره نمود [۴]. از امواج صوتی الکترومغناطیسی، به دلیل توانایی این امواج در حمل اطلاعات

^۱. Whistler wave

کمتر شود، ضریب رشد پراکندگی رامان پس رو در مقایسه با پراکندگی رامان پیش رو بیشتر خواهد شد [۳].

یک بسته موج سوت کش الکترومغناطیسی یک بعدی که در جهت میدان مغناطیسی خارجی محیط پلاسما در حال انتشار می باشد را در نظر می گیریم. میدان الکتریکی مربوط به این بسته موج را می توان به صورت رابطه زیر نمایش داد:

$$\vec{E} = \sum_K \overline{E_K} \exp i(Kz - \omega_K t) \quad (4)$$

برهم کنش ذرات محیط با این میدان الکتریکی، تابع توزیع ذرات پلاسما را تغییر خواهد داد. تغییرات تابع توزیع برحسب زمان را می توان به شکل زیر به دست آورد [۸]:

$$\frac{\partial f}{\partial t} = \sum_K \left[\frac{\partial}{\partial p_z} \frac{k v_{\perp}}{\omega_K} + \frac{1}{p_{\perp}} \frac{\partial}{\partial p_{\perp}} p_{\perp} \left(1 - \frac{k v_z}{\omega_K} \right) \right] + \times \left\{ D_K \left[\left(1 - \frac{k v_z}{\omega_K} \right) \frac{\partial f}{\partial p_{\perp}} + \frac{k v_{\perp}}{\omega_K} \frac{\partial f}{\partial p_z} \right] \right\}, \quad (5)$$

که در آن

$$D_K = \frac{\pi e^2}{\gamma} E_K^2 \delta \left(\omega_K - K v_z - \frac{\Omega_e}{\gamma} \right) \quad (6)$$

اگر فرض کنیم که موج سوت کش با فرکانسی به صورت ω_K در محیط در حال انتشار باشد، این موج می تواند تنها با الکترون هایی که با سرعتی برابر با

$$v_z = \frac{\left(\omega_K - \frac{\Omega_e}{\gamma} \right)}{k}, \quad (7)$$

در جهت میدان مغناطیسی در حال انتشار می باشند برخورد نماید. به این الکترون ها، الکترون های تشیدی گفته می شود. در روابط (۵) و (۶) و (۷)، $p_z = m v_z \gamma$ و γ ثابت نسبیتی است.

با توجه به تابع پاشندگی امواج سوت کش الکترومغناطیسی، سرعت فاز این امواج و سرعت الکترون های تشیدی در طول موج های بلند، به معادله زیر برای سرعت الکترون های

پلاسماهای الکترونی است.

برطبق این نظریه، پراکندگی رامان پس رو (RBS)^۱ یک برهم کنش سه موجی می باشد که در آن پالس لیزر ورودی به یک موج الکترومغناطیسی با انتشار در جهت عکس انتشار پالس لیزر ورودی و یک موج لانگمیر و پاشی می کند. در این حالت برای محیط پلاسماهای با چگالی خیلی کمتر از چگالی بحرانی n_c) سرعت فاز این موج لانگمیر به صورت تقریبی، به صورت $\frac{\omega_p c}{2\omega}$ خواهد بود. در این رابطه

$$\omega_p = \sqrt{\frac{n_e e^2}{\epsilon_0 m_e}} \quad (7)$$

فرکانس پلاسما و چگالی الکترونی غیر اختلالی می باشد. حال با توجه به اینکه برای محیط پلاسماهای چگالی کم، فرکانس پلاسما خیلی کوچکتر از فرکانس پالس لیزر ورودی است این سرعت فاز بسیار کمتر از c (سرعت نور در خاله) می باشد. از طرف دیگر برطبق این نظریه، پراکندگی رامان پیش رو (RFS^۲) یک برهم کنش چهار موجی می باشد که در آن پالس لیزر ورودی به دو موج الکترومغناطیسی در حال انتشار در جهت پالس لیزر ورودی و یک موج پلاسماهای الکترونی و پاشی می کند. در پراکندگی رامان پیش رو موج لانگمیر تولید شده دارای فرکانس ω_p و عدد موج K_p است و بنابراین سرعت فاز آن تقریباً با سرعت نور برابر خواهد بود

$$\frac{\omega_p}{K_p} \approx c \quad (8)$$

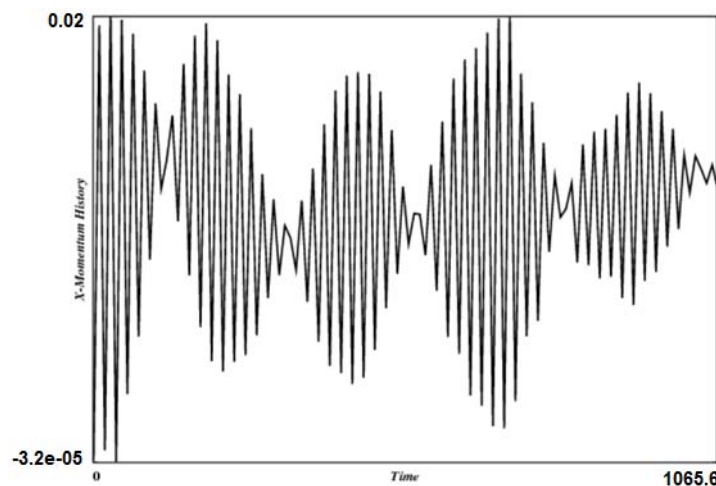
نسبت ضریب رشد پراکندگی رامان پس رو به پراکندگی رامان پیش رو را می توان بر طبق معادله زیر محاسبه نمود [۳ و ۷]:

$$\frac{\gamma_B}{\gamma_F} \approx \sqrt{2} \left(\frac{n_e}{n_c} \right)^{-\frac{3}{4}} \quad (9)$$

این معادله به خوبی بیان می کند که ضریب رشد مربوط به پراکندگی رامان پس رو در حالت پلاسماهای با چگالی کمتر از n_c از ضریب رشد مربوط به پراکندگی رامان پیش رو بیشتر است، به طوری که با تغییر چگالی از n_c تا $n_c/10$ این نسبت از ۸ تا ۴۵ تغییر می کند. بنابراین هر چه چگالی محیط

۱. Raman Backward Scattering

۲. Raman Forward Scattering



شکل ۱. تکانه خطی ذرات در جهت محور x تا زمان تحول ۱۰۶۵ s.

Xem1 کد الکترومغناطیسی یک بعدی می‌باشد که در آن از روش PIC استفاده شده است. در بررسی صورت گرفته به وسیله این کد، موجی الکترومغناطیسی با قطبش خطی در جهت محور z را به داخل محیط پلاسمما (در راستای x) عبور می‌دهیم. محیط پلاسمما شامل یک نوع ذره با نسبت بار به جرم ۱-۰ و تعداد ۲۵۶ ذره می‌باشد. فرکانس پلاسمما در این حالت برابر با یک در نظر گرفته شده است. طول محیط طوری انتخاب شده است که اندازه بردار موج مد اول تهییج شده در محیط پلاسمما یعنی $\frac{2\pi}{L} = K_0 = \frac{1}{5}$ برابر با 5° شود. موج ورودی دارای بردار موج K بوده و محاسبات در گام‌های زمانی با طول بازه 15° ثانیه انجام می‌پذیرد.

شکل‌های ۱ و ۲ به ترتیب تکانه خطی در جهت محور x و انرژی میدان الکتریکی در جهت محور x را تا زمان ۱۰۵۶s نشان می‌دهند. این میدان الکتریکی همان میدان الکترواستاتیکی تهییج شده در پراکندگی رامان می‌باشد، که سبب افزایش تکانه ذرات در جهت طولی می‌گردد. همان طور که مشاهده می‌شود، انرژی میدان الکتریکی در حال افزایش بوده و تشکیل امواج الکترواستاتیکی در شکل ۱ به خوبی نمایان هستند. از آنجایی که هیچ گونه رشد سریع تکانه را برای ذرات مشاهده نمی‌کنیم بنابراین، پراکندگی رامان پس رو در حال صورت گرفتن می‌باشد و تا این زمان اثری از پراکندگی رامان پیش رو مشاهده نمی‌شود.

شکل‌های ۳ و ۴ تکانه خطی و انرژی میدان در جهت محور x

تشدیدی در حالت پایا می‌رسیم [۸]:

$$V_{\perp}^2 + G^2 \left[\left(-\frac{V_z}{2} \mp \sqrt{\frac{V_z^2}{4} - \frac{1}{2}} \right)^{\frac{4}{3}} + 2^{\frac{2}{3}} \left(-\frac{V_z}{2} \mp \sqrt{\frac{V_z^2}{4} - \frac{1}{2}} \right)^{\frac{2}{3}} \right] = C \quad (8)$$

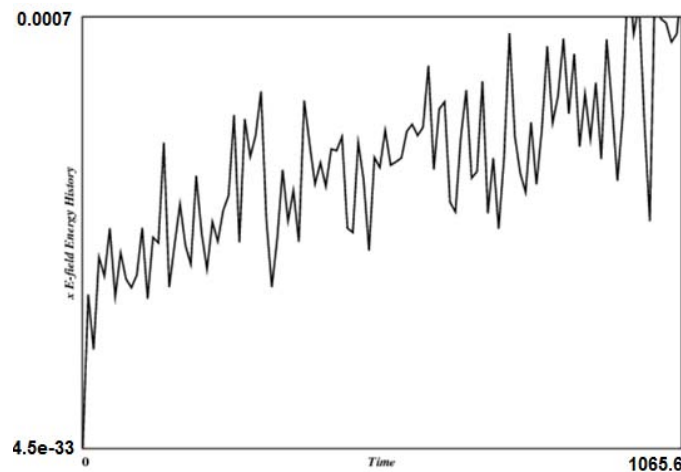
که در آن $C = \frac{2}{2} \left(\frac{v_{ae}}{v_{th}} \right)^{\frac{2}{3}}$ و $V_z = \frac{v_{\perp}}{v_{th}}$ ، $v_{\perp} = \frac{v_z}{v_{th}}$ یک مقدار ثابت و $v_{ae} = \frac{c\omega_e}{\omega_p}$ بیانگر سرعت الکترون‌های آلفن^۱ می‌باشد.

بررسی خطوط پراکندگی الکترون‌های تشدیدی به دست آمده از معادله (۸)، بیانگر انتقال انرژی به این ذرات در جهت عمود بر راستای انتشار موج صوتی الکترومغناطیسی است.

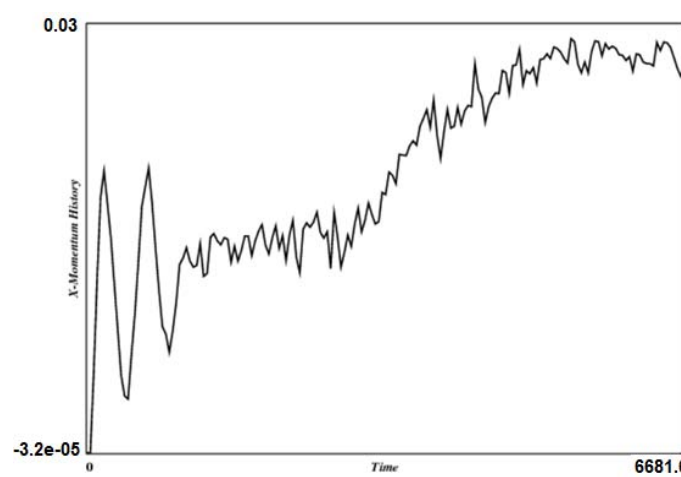
Xem1

قبل از شبیه‌سازی یک محیط پلاسمایی کامل و عبور پالس لیزر از داخل آن، پدیده رامان و گرمایش دو مرحله‌ای را با عبور یک موج الکترومغناطیسی از داخل محیط پلاسمما با استفاده از کد Xem1 مورد بررسی قرار می‌دهیم.

۱. Alfvén electron velocity



شکل ۲. انرژی میدان الکتریکی در جهت محور x تا زمان تحول ۱۰۶۵ s.

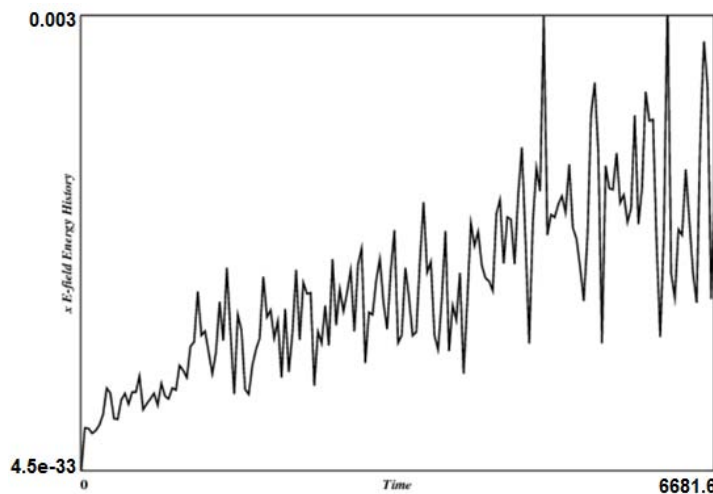


شکل ۳. تکانه خطی ذرات در جهت محور x تا زمان تحول ۶۶۸۱ s.

رفتارهای پلاسما مورد استفاده قرار می‌گیرد. یکی از پیشرفت‌های ترین کدهای نوشته شده با استفاده از روش PIC، کد XOOPIC است. به دلیل امکانات بالای این کد دو بعدی در بررسی رفتار امواج در محیط پلاسما، استفاده از آن در بررسی ناپایداری‌های محیط و چگونگی گرمایش ذرات محیط پلاسما بسیار مفید می‌باشد. از این‌رو در بررسی ناپایداری رامان تحریکی و گرمایش الکترون‌های محیط توسط امواج سوتکش از این کد استفاده کردند. در کارهای صورت گرفته در این زمینه اکثرأ به بررسی تحولات زمانی محیط پلاسما پرداخته شده است و ما در اینجا تحولات مکانی محیط پلاسما و انتشار مکانی امواج در داخل محیط را بررسی می‌نماییم.

و این بار تا زمان طولانی‌تر ۶۶۸۱s را نشان می‌دهند. در شکل ۳ یک رشد سریع تکانه قابل مشاهده می‌باشد و این درست زمانی است که پراکندگی رامان پیش رو شروع می‌شود. همان‌گونه که انتظار می‌رفت، این پراکندگی با یک تأخیر زمانی نسبت به پراکندگی رامان پس رو صورت می‌گیرد. در این حالت ذرات با گیر افتادن در دامنه امواج الکترواستاتیکی با سرعت فاز بالا، که در پراکندگی رامان پیش رو تولید شده‌اند، یک رشد سریع انرژی را تجربه می‌کنند. تغییرات انرژی میدان نیز در شکل ۴ قابل مشاهده است.

استفاده از روش PIC به صورت گسترهای در بررسی



شکل ۴. انرژی میدان الکتریکی در جهت محور x تا زمان تحول ۶۶۸۱ s.

محور y ، ۲۵۶ عدد می‌باشد. با توجه به این مقادیر و اینکه اندازه هر سلول در جهت محور y دو برابر اندازه آن در جهت محور x در نظر گرفته شده است، محیط پلاسما دارای طول $m = 1.6 \times 10^{-5}$ و عرض $2.3 \times 10^{-5} m$ است. محاسبات در این روش در هر گام زمانی که در ورودی برنامه تعریف می‌گردد، انجام می‌گیرد. گام زمانی به کار رفته در این شبیه‌سازی $s = 6.87 \times 10^{-17}$ می‌باشد.

تعداد ذرات محاسباتی به کار رفته در این شبیه‌سازی در هر سلول ۱۶ عدد می‌باشد. در این محاسبات عددی دمای اولیه الکترون‌ها و یون‌های محیط $100 eV$ ، یون‌ها به عنوان ذرات زمینه محیط پلاسما و توزیع اولیه ذرات به صورت ماسکولی در نظر گرفته شده‌اند. با توجه به این انرژی، سرعت گرمایی الکترون‌های محیط در حدود $24 C^0$ است.

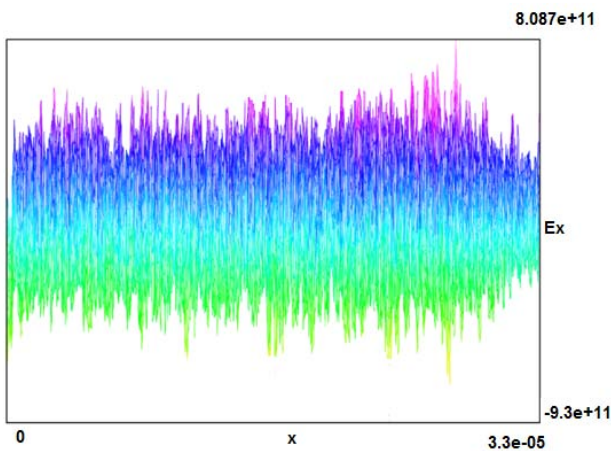
هنده‌سه به کار رفته در این شبیه‌سازی شامل صفحاتی رساناست که در مراحل اولیه محیط پلاسما قرار گرفته‌اند. در انتهای سمت چپ محیط (جایی که پالس لیزر به داخل محیط وارد می‌شود) محیطی خلاً گونه به اندازه ۱۰ سلول مکانی در نظر گرفته شده است.

شکل‌های ۵ و ۶ میدان الکتریکی در جهت محور x را بر حسب مکان نمایش می‌دهند. از آنجایی که جهت انتشار پالس لیزر نیز محور x در نظر گرفته شد، بنابراین میدان‌های طولی

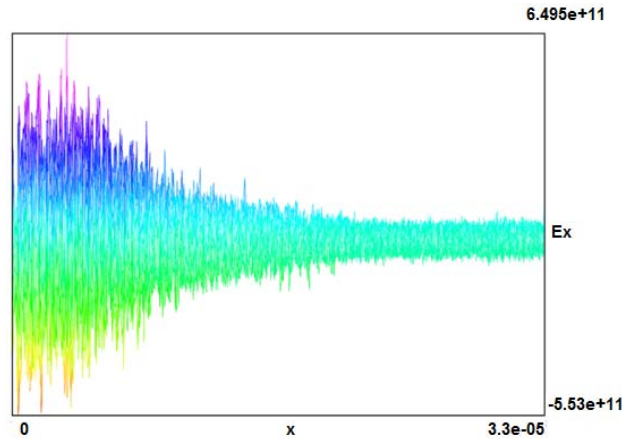
در شبیه‌سازی صورت گرفته، پالس لیزر از خارج به محیط پلاسما هیدروژنی تابانده می‌شود. پارامترهای به کار رفته در این شبیه‌سازی برای محصورسازی به روش لختی مناسب می‌باشد. پالس لیزر به کار رفته در راستای محور x به داخل محیط پلاسما تابانده شده و بنابراین در این راستا منتشر می‌گردد. این پالس گوسی شکل، دارای قطبش خطی در جهت محور y بوده و طول موج آن $\lambda = 527 \mu m$ می‌باشد. با توجه به این طول موج، دوره تناوب مربوط به پالس لیزر برابر با $T = 1.8 fs$ می‌باشد. چگالی بحرانی محیط پلاسما نیز $n_c = 4 \times 10^{22} cm^{-3}$ انتخاب شده است. علاوه براین، پالس لیزر به کار رفته دارای طول زمانی $T = 6 \times 10^{-18} s$ و شدت $I = 1.8 \frac{W}{cm^2}$ است.

محیط پلاسما به کار رفته در شبیه‌سازی دارای چگالی $n_c = 1/n_e = 1$ است. این مقدار چگالی برای محیط، فرکانس پلاسما می‌باشد. این مقدار در حدود $\omega = 0.03 \omega_0$ ، که در آن ω_0 فرکانس پالس لیزر ورودی می‌باشد را ایجاد می‌نماید. با توجه به این مقادیر طول موج پلاسما سه برابر طول موج پالس لیزر ورودی خواهد بود.

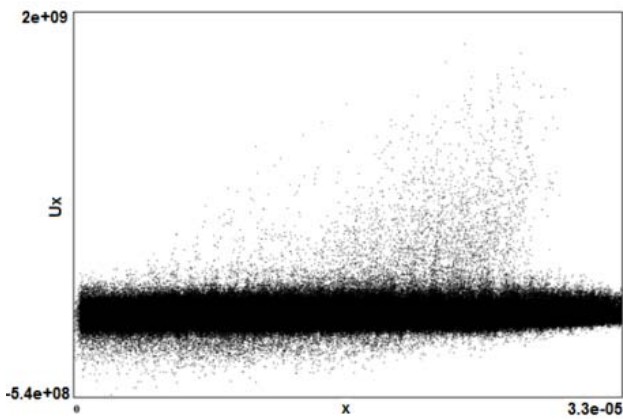
کد XOPIC از روش گسسته سازی محیط پلاسما در حل معادلات ماسکول استفاده می‌کند. در این شبیه‌سازی هر طول موج پالس لیزر، ۱۶ سلول محیط را در بر می‌گیرد. تعداد سلول‌های به کار رفته در جهت محور x ۱۰۲۴ و در جهت



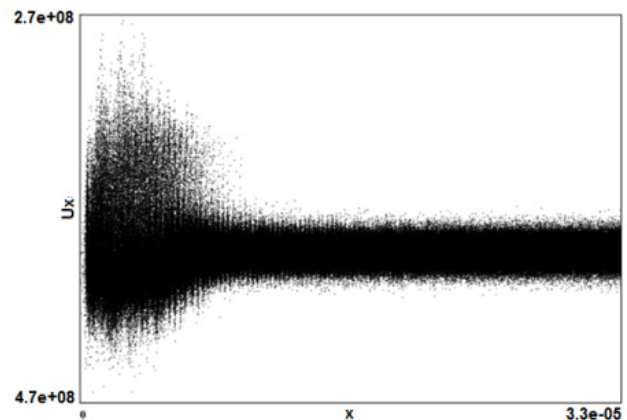
شکل ۶. میدان الکتریکی طولی در گام زمانی ۲۵۴۷.



شکل ۵. میدان الکتریکی طولی در گام زمانی ۱۱۲۳.



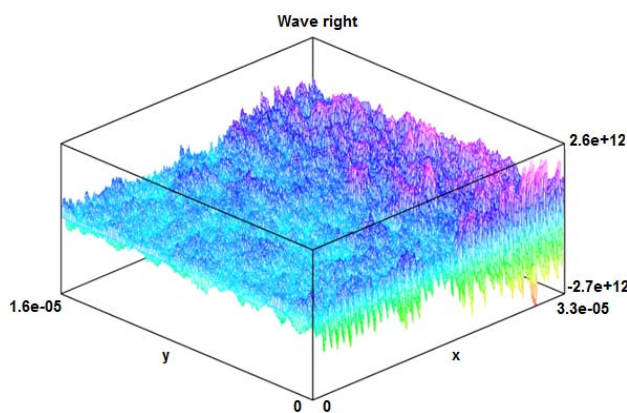
شکل ۸. سرعت طولی الکترون ها در گام زمانی ۲۵۴۷.



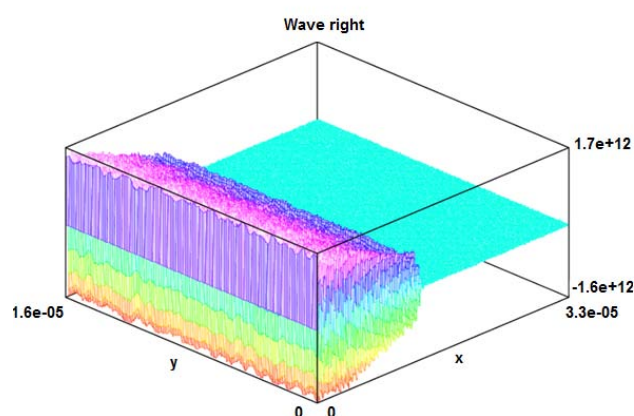
شکل ۷. سرعت طولی الکترون در گام زمانی ۱۱۲۳.

لانداؤ شروع به میرا شدن می کنند. شکل های ۷ و ۸ فضای سرعت- مکان (سرعت و مکان هر دو در جهت طول پلاسما) الکترون های محیط را به ترتیب در گام های زمانی ۱۱۲۳ و ۲۵۴۷ نشان می دهند. در شکل ۷ موج پلاسمای الکترونی با گیراندازی الکترون های محیط باعث افزایش سرعت این ذرات می گردد. از آنجایی که سرعت فاز مربوط به امواج پلاسمای الکترونی در B-SRS کوچک است بنابراین نمی توان انتظار افزایش سرعت بالایی برای الکترون ها را داشت. با گذشت زمان، همان گونه که در شکل ۶ نیز مشاهده شد، پالس لیزر به طور کامل وارد محیط پلاسما شده و در قسمت های انتهایی محیط پلاسما در اثر پراکندگی رامان پیش رو، امواج پلاسمای الکترونی با سرعت فاز بالا تولید می کند. این امواج نیز در اثر گیراندازی الکترون های قسمت انتهایی محیط

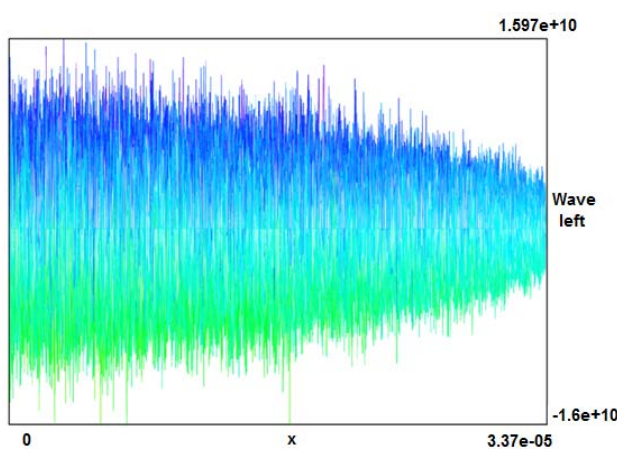
نشان داده شده در این شکل ها بیانگر امواج پلاسمای الکترونی تولید شده در پراکندگی رامان می باشند. شکل ۵، میدان الکتریکی را در گام زمانی ۱۱۲۳ (معادل ۴۲ دوره تناوب پالس لیزر ورودی) و در $v = 8.4 \times 10^{-5} m/s$ نشان می دهد. همان گونه که انتظار می رفت موج پلاسمای الکترونی تشکیل شده در ناحیه چپ شکل بیانگر پراکندگی رامان پس رو در زمان های اولیه ورود پالس لیزر به محیط پلاسما می باشد. شکل های ۶ میدان الکتریکی طولی را در گام زمانی ۲۵۴۷ (معادل ۹۷ دوره تناوب پالس لیزر ورودی) نمایش می دهد. در این شکل موج پلاسمای الکترونی تشکیل شده در قسمت انتهایی محیط پلاسما بیانگر پراکندگی رامان پیش رو در این ناحیه می باشد. همان گونه که در این شکل مشاهده می شود امواج پلاسمای الکترونی ایجاد شده در پراکندگی رامان پس رو با گذشت زمان در اثر میرایی



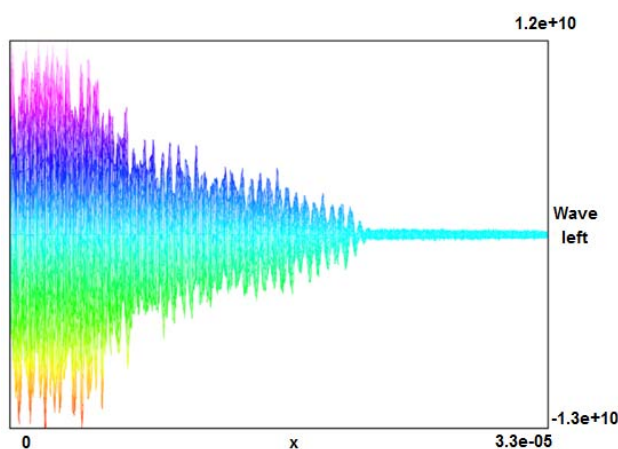
شکل ۱۰. امواج الکترومغناطیسی در جهت محور x در گام زمانی ۲۵۴۷.



شکل ۹. امواج الکترومغناطیسی در جهت محور x در گام زمانی ۱۱۲۳.



شکل ۱۲. امواج الکترومغناطیسی در جهت خلاف جهت محور x در گام زمانی ۲۵۴۷.



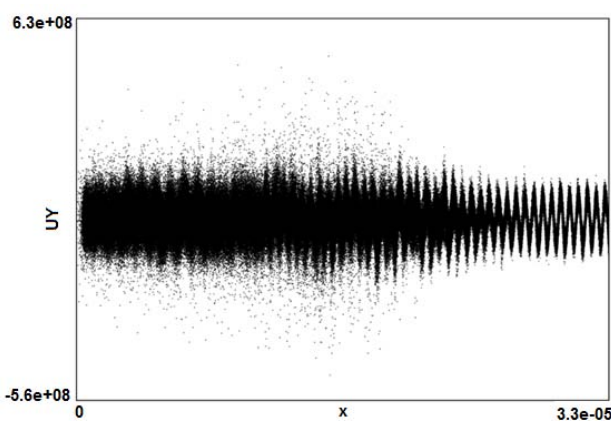
شکل ۱۱. امواج الکترومغناطیسی در جهت خلاف جهت محور x در گام زمانی ۱۱۲۳.

پلاسما شده است و به قسمت‌های انتهایی محیط پلاسما نیز رسیده است. با توجه به حالت میرایی پالس لیزر مشاهده شده در شکل ۹ و دامنه بزرگ موج تشکیل شده در قسمت انتهایی راست محیط پلاسما در شکل ۱۰، این موج نمی‌تواند بیانگر پالس لیزر ورودی باشد. بنابراین همان گونه که انتظار داشتیم این قله بیانگر موج الکترومغناطیسی پراکنده شده در F-SRS می‌باشد که در جهت پالس لیزر ورودی در حال انتشار است.

شکل‌های ۱۱ و ۱۲ امواج الکترومغناطیسی عرضی در حال انتشار در خلاف جهت انتشار پالس لیزر ورودی را به ترتیب در گام‌های زمانی ۱۱۲۳ و ۲۵۴۷ در $y=0$ نشان می‌دهد. در شکل ۱۱ در قسمت ابتدایی ورود پالس لیزر به محیط پلاسما دو قله موج قابل مشاهده می‌باشد. یک قله بیانگر قسمتی از پالس

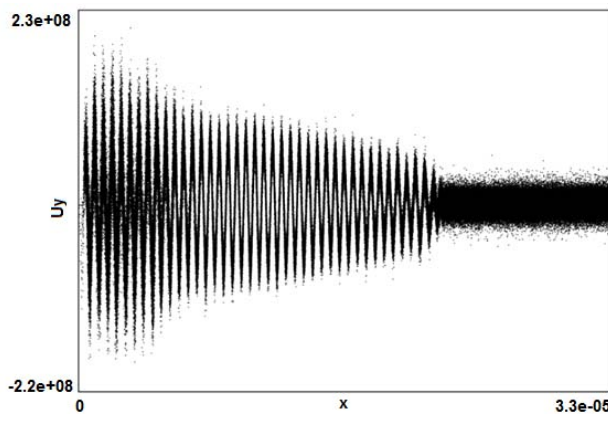
سبب افزایش انرژی این ذرات می‌گردد. افزایش بالاتر سرعت الکترون‌های قسمت انتهایی محیط پلاسما بیانگر سرعت فاز بالای امواج پلاسمای الکترونی در F-SRS نسبت به B-SRS می‌باشد. درینجا سرعت‌ها نسبیتی (به دلیل انرژی بالای الکترون‌ها) و در سیستم SI در نظر گرفته شده‌اند.

شکل‌های ۹ و ۱۰ به ترتیب نشان دهنده امواج الکترومغناطیسی عرضی در حال انتشار در جهت انتشار پالس لیزر ورودی در گام‌های زمانی ۱۱۲۳ و ۲۵۴۷ می‌باشند. در شکل ۹ هنوز پالس لیزر به طور کامل وارد محیط پلاسما نشده است. در شکل ۹ همان‌گونه که انتظار می‌رود پالس لیزر با حرکت به طرف داخل محیط در اثر پراکنده‌گی در حال میرا شدن می‌باشد. در شکل ۱۰ پالس لیز به طور کامل وارد محیط



شکل ۱۴. فضای سرعت- مکان در جهت محور y در گام زمانی

۰.۲۵۲۷



شکل ۱۳. فضای سرعت- مکان در جهت محور y در گام زمانی

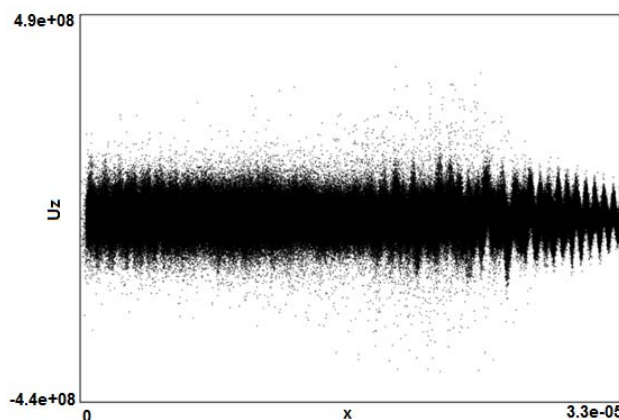
۱۱۲۳

لیزر تابانده شده به محیط می‌باشد و این همان چیزی است که برای موج الکترومغناطیسی پراکنده شده در B-SRS انتظار می‌رفت. موج تولید شده در قسمت انتهای چپ محیط پلاسما دارای فرکانسی تقریباً برابر با فرکانس پالس لیزر ورودی بوده و می‌تواند بیانگر قسمت بازتابیده پالس لیزر از محیط پلاسما به شمار آید. در شکل ۱۴ پالس لیزر به طور کامل وارد محیط پلاسما شده است. در این حالت امواج الکترومغناطیسی پراکنده شده در ناحیه چپ و نزدیک به مرکز محیط پلاسما در برهم کنش با الکترون‌ها سبب افزایش سرعت این ذرات شده‌اند. همان‌گونه که در این شکل مشاهده می‌شود موج الکترومغناطیسی پراکنده شده در F-SRS در قسمت انتهای سمت راست محیط تشکیل شده است.

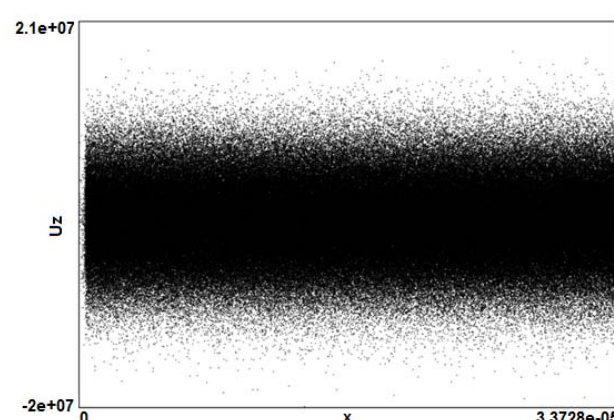
تا اینجا در شبیه‌سازی صورت گرفته هیچ میدان مغناطیسی خارجی در محیط پلاسما در نظر گرفته نشد. در برهم کنش پالس لیزر با محیط پلاسمای غیرمغناطیسه نمی‌توان انتظار تولید امواج سوت‌کش الکترومغناطیسی را داشت. حال برای تولید این امواج، میدان مغناطیسی خارجی با بزرگی 10 MG را در جهت انتشار پالس لیزر ورودی (در جهت محور x) بر محیط پلاسما اعمال می‌نماییم. در حضور این میدان مغناطیسی خارجی، امواج سوت‌کش الکترومغناطیسی در برهم کنش پالس لیزر و محیط پلاسما تولید می‌گردند. حال می‌توان به بررسی نقش این امواج

لیزر بازتاب شده در محیط پلاسما می‌باشد در حالی که قله دیگر، موج الکترومغناطیسی پراکنده شده در B-SRS را نشان می‌دهد. در شکل ۱۲ با ورود کامل پالس لیزر به محیط پلاسما، امواج الکترومغناطیسی پراکنده شده در B-SRS تقریباً در تمامی نقاط محیط قابل مشاهده است. مشاهده بهتر این امواج الکترومغناطیسی پراکنده شده، در فضای سرعت عرضی الکترون‌ها بر حسب مکان امکان‌پذیر می‌باشد.

به منظور ارایه تصویری روشن‌تر از امواج الکترومغناطیسی پراکنده شده در محیط پلاسما می‌توان فضای سرعت عرضی الکترون‌ها را بر حسب مکان‌شان (در جهت محور x) مورد بررسی قرار داد. شکل‌های ۱۳ و ۱۴ به ترتیب نشان دهنده فضای سرعت عرضی (در جهت محور y) الکترون‌ها در گام‌های زمانی ۱۱۲۳ و ۰.۲۵۲۷ می‌باشد. برای پالس لیزر ورودی به محیط پلاسما قطبی خطي در جهت محور z در نظر گرفته شد. بنابراین میدان الکتریکی این موج در جهت محور z قرار دارد و می‌تواند با الکترون‌های محیط در جهت این محور برهم کنش انجام دهد. این برهم کنش در شکل ۱۳ قابل مشاهده است. با کمی توجه بیشتر به شکل ۱۳ می‌توان وجود دو موج با دامنه‌های کوچک را میان پالس لیزر شناسایی نمود. این امواج نیز با الکترون‌های محیط در جهت محور z برهم کنش داشته و بنابراین در فضای سرعت عرضی الکترون‌ها آشکار می‌گردند. همان‌گونه که در شکل ۱۳ مشاهده می‌شود فرکانس موج تولید شده در ناحیه نزدیکتر به مرکز پلاسما کمتر از فرکانس پالس



شکل ۱۶. سرعت (در راستای z)- مکان در حضور میدان مغناطیسی خارجی در گام زمانی ۰۵۴۷.



شکل ۱۵. سرعت (در راستای z)- مکان در غیاب میدان مغناطیسی خارجی در گام زمانی ۰۵۴۷.

برهم کنش با آن، امواج سوت کش الکترومغناطیسی را در محیط تولید می کند. این امواج نیز در برهم کنش با الکترون های تشیدی محیط سبب افزایش سرعت این ذرات در جهت عمود بر میدان مغناطیسی خارجی می شوند.

در این مقاله با استفاده از کدهای Xoopic و Xem1 به بررسی پراکندگی رامان تحریکی و برهم کنش امواج صوتی الکترومغناطیسی تولید شده در عبور پالس لیزر از محیط پلاسمای پرداختیم. در اینجا بر خلاف کارهای صورت گرفته در این زمینه به بررسی گام به گام انتشار امواج در داخل محیط پلاسمای و برهم کنش آنها با ذرات پلاسمای محیط پرداخته شد. پراکندگی رامان پس رو در زمانها و مکان های اولیه ورود پالس لیزر به داخل محیط پلاسما شروع به انجام شدن می کند. این در حالی است که پراکندگی رامان پیش رو در زمان های تأخیری تر و در قسمت های انتهایی محیط پلاسما قابل مشاهده می باشد. امواج الکترواستاتیکی برانگیخته شده در پراکندگی رامان پس رو در برهم کنش با ذرات محیط، باعث انتقال انرژی به این ذرات در جهت انتشار خود می گردد. این ذرات در برهم کنش با امواج الکترواستاتیکی تولید شده در پراکندگی رامان پیش رو تا انرژی های بالاتر گرماده می شوند. بنابراین می توان یک گرمایش دو مرحله ای برای الکترون های محیط در اثر پراکندگی

در گرمایش محیط پلاسما پرداخت. بررسی شکل های مربوط به سرعت الکترون های محیط در جهت محور های x و y در گام های زمانی مختلف در غیاب میدان مغناطیسی خارجی و در حضور این میدان تفاوت چندانی را نشان نمی دهد. تأثیر امواج صوتی الکترومغناطیسی در گرمایش محیط پلاسما را می توان در مقایسه شکل های ۱۵ و ۱۶ به خوبی مشاهده نمود. شکل های ۱۵ و ۱۶ سرعت الکترون های محیط را در جهت محور z به ترتیب در غیاب میدان مغناطیسی خارجی و در حضور این میدان در گام زمانی ۰۵۴۷ نشان می دهد. همان طور که به وضوح دیده می شود سرعت الکترون ها با ورود پالس لیزر به محیط پلاسما در حضور میدان مغناطیسی افزایش قابل توجهی در جهت محور z پیدا می کنند. این همان چیزی است که از نظریه امواج سوت کش الکترومغناطیسی انتظار می رود. برهم کنش میدان مغناطیسی خارجی و میدان های مغناطیسی مگا گوسی تولید شده در برهم کنش پالس لیزر و محیط پلاسما با الکترون های محیط تنها می توانند عامل تغییر مسیر حرکت ذرات شوند و نمی توانند عامل افزایش سرعت این ذرات شوند. با توجه به ثابت ماندن فضای فاز ذرات در راستاهای x و y می توان افزایش ۱۰ مرتبه ای سرعت برخی از ذرات در راستای محور z که در مقایسه شکل های ۱۵ و ۱۶ قابل مشاهده می باشد، را در برهم کنش امواج سوت کش با ذرات محیط پلاسما جستجو نمود. پالس لیزر با ورود به محیط پلاسمای مغناطیسی و

فاز الکترون‌های محیط قبل و بعد از اعمال میدان مغناطیسی خارجی، افزایش سرعت الکترون‌ها را در حضور میدان مغناطیسی و در جهت عمود بر این میدان نشان داد. از آنجایی که خود میدان مغناطیسی و دیگر میدان‌های مغناطیسی مگا گوسی تولید شده در برهمکنش پالس لیزر با محیط پلاسما نمی‌توانند عامل افزایش انرژی ذرات شده باشند، بنابراین امواج سوتکش تولید شده در این حالت در برهمکنش با الکترون‌های محیط سبب افزایش انرژی این ذرات شده‌اند.

رامان را پیش‌بینی نمود. این گرمایش به صورت کامل در شبیه سازی‌های صورت گرفته مشاهده گردید.

امواج سوتکش الکترومغناطیسی، در عبور پالس لیزر از یک محیط پلاسمای مغناطیسی تولید و در برهمکنش با الکترون‌های محیط سبب انتقال انرژی به این ذرات در جهت عمود بر میدان مغناطیسی خارجی می‌شود. به منظور تولید وسیع امواج سوتکش الکترومغناطیسی، میدان مغناطیسی خارجی بزرگی بر محیط پلاسما اعمال نمودیم. مقایسه فضای

1. T Klinger, *Phys. Plasmas* **10** (2003) 10.
2. R M G M Trines, L P J Kamp, T J Schep, F W Sluijter, W P Leemans, and E H Esarey, *J. Plasma Physics* **71** (2005) 4.
3. A Bret, “*Introduction to Plasma Physics- II*”, Massachusetts Institute of Technology (2001).
4. V I Sotnikov, Y Sentoku, and V B Krasovitskii, *Physics of Plasmas* **12** (2005) 082107.

1. P Jha, G Raj, and A K Upadhyaya, *IEEE Transactions on Plasma Science* **34** (2006) 3.
2. C J Walsh, C M Villeneuve, and H L Baldis, *physical review letters* **53** (1984) 15.
3. C Lihua, C Tieqiang, L Zhanjun, and Z Chunyang, *Plasma Sci. Technol.* **9** (2007) 422.
4. R N Stenzel, *The physics of fluids* **19** (1976) 6.
5. M Christian, F Kleiber, G Bonhomme, O Grulke, and